

## PAPER DETAILS

TITLE: Farklı özelliklerdeki topraklarda redoks potansiyelindeki değişimlerin Fe ve Mn yayılmasına etkisi

AUTHORS: Süleyman ÖREN,Veli UYGUR,Enise SUKUSU

PAGES: 301-309

ORIGINAL PDF URL: <https://dergipark.org.tr/tr/download/article-file/577013>



## Farklı özelliklerdeki topraklarda redoks potansiyelindeki değişimlerin Fe ve Mn yarayışlılığına etkisi

Effect of redox potential induced changes on Fe and Mn availability in soils with differing characteristics

Süleyman ÖREN<sup>1</sup>, Veli UYGUR<sup>2</sup>, Enise SUKUŞU<sup>3</sup>

<sup>1</sup>Gıda Kontrol Laboratuvar Müdürlüğü, Isparta

<sup>2</sup>Isparta Uygulamalı Bilimler Üniversitesi, Tarım Bilimleri ve Teknolojileri Fakültesi, Toprak Bilimi ve Bitki Besleme Bölümü, Isparta

<sup>3</sup>Siirt Üniversitesi, Ziraat Fakültesi, Toprak Bilimi ve Bitki Besleme Bölümü, Siirt

Sorumlu yazar (*Corresponding author*): V. Uygur, e-posta (*e-mail*): veliuygur@isparta.edu.tr

Yazar(lar) e-posta (*Author e-mail*): suleymanO32@hotmail.com, enisesukusu@sdu.edu.tr

### MAKALE BİLGİSİ

Alınış tarihi 23 Mart 2018

Düzeltilme tarihi 14 Ekim 2018

Kabul tarihi 01 Kasım 2018

### Anahtar Kelimeler:

Toprak özellikleri

İndirgen şartları

Yarayışlı Fe

Yarayışlı Mn

Redoks potansiyeli

### ÖZ

Kış ayları boyunca toprakların hemen hemen doygun şartlarda kalması redoks potansiyelini düşürmeyecektir. Bu da örneklemeye zamanına bağlı olarak topraklarda farklı yarayışlı element konsantrasyonlarına neden olmaktadır. Topraklara giren oksijen miktarına bağlı olarak redoks reaksiyonlarında meydana gelen değişimler demir (Fe) ve mangan (Mn) yarayışlılığını önemli ölçüde değiştirmektedir. Bu nedenle bu çalışmada indirgen koşullarının süresine bağlı olarak topraklardaki yarayışlı Fe ve Mn miktarlarının nasıl değiştiği incelenmiştir. Bu amaçla özellikleri farklı 15 yüzey toprağı (0-30 cm) 1:1 toprak su karışımıyla sağlanan indirgen şartlarında sabit sıcaklıkta ( $22\pm2^\circ\text{C}$ ) 91 gün inkübasyona bırakılmıştır. İnkübasyonun 3, 7, 14, 21, 31, 45, 60, 91. günlerinde pH, ORP, DTPA-Fe ve DTPA-Mn analizleri yapılmıştır. Sonuçlar redoks potansiyelinin DTPA ile ekstrakte edilebilen yarayışlı Fe ve Mn konsantrasyonunu önemli ölçüde etkileyerek değiştirdiği gözlemlenmiştir. Bu değişim, inkübasyon süresine ve toprak özelliklerine bağlı olarak farklılıklar göstermiştir. Sonuç olarak topraklarda yarayışlı Fe ve Mn konsantrasyonu belirlenirken toprakların rutin analizleri içeresine ORP parametresinin de ilave edilmesinin aynı arazinin farklı dönemlerindeki analiz sonuçlarının karşılaştırılmasında faydalı olabileceği düşünülmektedir.

### ARTICLE INFO

Received 23 March 2018

Received in revised form 14 October 2018

Accepted 01 November 2018

### Keywords:

Soil properties

Reducing conditions

Available Fe

Available Mn

Redox potential

### ABSTRACT

The water content near saturation during the winter times reduces the redox potential of soils this in fact cause changes in nutrient element concentration induced by sampling time. The availability of iron (Fe) and manganese (Mn) prone to very large variations depending on redox induced reactions upon depletion of oxygen diffusion into soils. Thus we aimed to investigate how available Fe and Mn concentrations are affected by saturation-time and soil properties. For this purpose total of 15 surface soil samples (0-30 cm) with differing physico-chemical properties were incubated at near saturation condition by mixing 1:1 soil: water and constant temperature ( $22\pm2^\circ\text{C}$ ) for 91 days. pH, oxidation reduction potential (ORP), DTPA-Fe and -Mn were measured on 3, 7, 14, 21, 31, 45, 60 and 91<sup>st</sup> days. Results indicated that redox potential had significant effects on DTPA extractable Fe and Mn concentrations. These changes were function of soil properties and incubation period. It can therefore be concluded that it is beneficial to include the ORP measurement into routine soil analyses parameters to better evaluate the available Fe and Mn concentration of the same field's soil sampled at differing time or season.

## 1. Giriş

Topraklarda indirgen koşulların oluşması sonucunda toprakların fiziksel, kimyasal ve biyolojik özelliklerinde önemli değişimler meydana gelmektedir. Sistemdeki oksijen azalmasıyla toprakta meydana gelen tüm kimyasal reaksiyonlar,

termodinamik açıdan oluşan yeni durumdaki değişimini etkisini azaltacak yönde hareket ederler (Lindsay 2001). Sistemdeki oksijen miktarının azalmasına göre toprakların davranışları toprak özellikleri ve indirgen şartlarının süresine ve derecesine

göre değişiklik arz etmektedir ([Fageria ve ark. 2011](#)). Sistemin oksijen içeriğini azaltan süreçler, topraklardaki bitki besin elementlerinden özellikle Fe ve Mn miktarı üzerinde, redoks reaksiyonlarında oksijen ve nitratdan sonra en etkin elektron alıcılarından olması nedeniyle, önemli değişimlere neden olmaktadır ([Condon ve Richards 1992](#)).

Fe(III) ve Mn(IV)'ün indirgenmesi su ortamlarında ya da indirgen şartlar altında doğal organik maddenin ya da ilave olunan organik kirleticilerin oksitlenmesinde en önemli mekanizmadır. Demir ve Mn'nin indirgenme mekanizmalarındaki farklılıklar bu elementlerin sedimentlerde, indirgenmiş topraklarda ve yer altı sularındaki dağılımını etkilemektedir ([Lowley 1991; Szymanski ve Skiba 2013](#)). Bunların dışında Fe ve Mn'nin indirgenme derecesi toksik iz elementlerin, fosforun fraksiyonlarının dağılımında ve bitkilere olan yarışılığında önemli rolü vardır ([Nasnodkar ve Nayak 2017](#)). Bu davranışın temel nedeni Fe ve Mn oksitlerin diğer toprak bileşenlerine oranla yüksek miktarda bu elementleri adsorbe edebilme kabiliyetidir ([Latrille ve ark. 2001; Dellwig ve ark. 2010; Suda ve Makino 2016](#)). Mn oksitler indirgen koşulları oluştugunda  $\text{NO}_3^-$  indirgenmesinden sonra indirgenmeye başladığı için ve oksidasyon koşullarında en son oksitlenen metal olduğu için ([Ponnampерuma 1972; 1978; Patrick ve Henderson 1981](#)) zayıf asit karakterli anyonlar, zayıf hidrolize olan katyonlar ve organik moleküllerin oksidasyonunda özel bir öneme sahiptir ([Liu ve ark. 2002; Shaheen ve Rinkbele 2014](#)).

[Rao ve Venkateswarlu \(1974\)](#), deneme öncesi elverişli Fe ve Mn miktarları ortalama 8.7 ve 7.9 mg kg<sup>-1</sup> toprak örneklerinin 4 hafta su altında bırakılması sonucu Fe miktarlarının ortalama 117.8, Mn miktarlarının ortalama 79.5 mg kg<sup>-1</sup>'e yükseldiğini tespit etmişlerdir. Ancak su altında kalma ile meydana gelen bu artış sürekli olmamaktadır. Nitekim [Ghosh ve ark. \(1976\)](#), çeltik toprağında 9.7 ve 1.8 mg kg<sup>-1</sup> olan başlangıç elverişli Fe ve Mn miktarlarının 30 gün sonra 18.6 ve 23.1'ye yükseldiğini; 72 gün sonra ise 15.6 ve 7.1 mg kg<sup>-1</sup> düzüğünü belirlemiştir. Benzer şekilde [Aydın ve Sezen \(1995\)](#), çeltik yetiştidikleri iki toprağın başlangıç elverişli Fe ve Mn miktarlarının 6.3, 2.1 ve 8.3, 5.9 mg kg<sup>-1</sup> 30 gün sonra Fe için 156.8 ve 149, Mn için 100.5 ve 125.6 mg kg<sup>-1</sup>'e yükseldiğini; 90. günde ise Fe için 79.2 ve 68.2, Mn için 25.8 ve 35.9 mg kg<sup>-1</sup>'e düzüğünü belirlemiştir. [Barik ve ark. \(2005\)](#) tarafından yapılan araştırma neticesinde yarışlı Fe konsantrasyonunda 15 kat, Mn'de ise 12 katlık bir artış belirlemiştir.

Yukarıdaki çalışmalar temel itibarı ile birkaç toprak örneği ile tamamen su altında kalmış göreceli ileri derecede indirgenmenin gerçekleştiği koşullarda yapılmıştır. Doygunluk derecesine yakın koşullarda sisteme oksijen girişi daha fazla olduğundan indirgenme ileri derecede gerçekleşmez. Diğer taraftan ölçümülerin sıkılıkla yapılmamasından dolayı aradaki günlerde oluşan değişim net olarak gözlemlenmemektedir. Bu nedenle bu çalışmada farklı özelliklere sahip 15 toprak örneğinde yarışlı demir ve mangan konsantrasyonlarının zamanın fonksiyonu olarak toprak özelliklerini ile ilişkilerini ortaya koymak amaçlanmıştır.

## 2. Materyal ve Yöntem

### 2.1. Toprak örneklerinin alınması ve tanımlayıcı analizler

Farklı illerden taşınmış veya yerinde oluşmuş farklı fiziko-kimyasal özelliklere sahip 15 yüzey toprağı (0-20 cm) örneği alınmıştır ([Ören 2018](#)). Hava-kuru toprak örnekleri 2 mm' den

elenerek tanımlayıcı analizler yapılmıştır. Topraklarda belirlenen tanımlayıcı analizler [Sparks ve ark. \(1996\)](#)'da bildirilen yaygın yöntemler kullanılarak yapılmıştır. Toprakların pH ve EC' si satürasyon çamurunda; organik maddesi modifiye Walkley-Black metoduyla ([Nelson ve Sommers 1996](#)); toplam azot Kjeldahl yöntemiyle ([Bremner 1996](#)); kireç manometrik yöntemle Scheibler kalsimetresiyle; tekstür fraksiyonları hidrometreyle ([Gee ve Bauder 1986](#)); yarışlı fosfor Olsen metoduyla ([Kuo 1996](#)); K, Ca ve Mg amonyum asetat ekstraksiyonuyla ([Sumner ve Miller 1996](#)) ve yarışlı katyonik mikroelementler ise DTPA ekstraksiyonuyla ([Lindsay ve Norwell 1978](#)) ICP-OES'de (Perkin-Elmer, Optima 2100 DV) belirlenmiştir. Toprakların tanımlayıcı analizlerine ait sonuçlar Çizelge 1' de verilmiştir.

### 2.2. İnkübasyon denemesinin kurulması ve yürütülməsi

Analizlerin kolaylığı açısından mikroelementlerin yarışlı konsantrasyonlarının [Lindsay ve Norwell \(1978\)](#) bildirdiği yöntemle direk olarak ölçülebileceği 10 g toprak örneği, 10 mL saf su ile 50 mL'lik santrifüj tüpleri içerisinde 3, 7, 14, 21, 31, 45, 60 ve 91 gün süre ile  $22\pm 2^\circ\text{C}$  de bitki oluşumuna karşı karanlıkta inkübe edilmiştir. Deneme 3 paralelli olarak tesadüf parserselli deneme deseninde kurulmuştur. Denemedeki su kaybi haftalık periyotlarla kontrol edilmiş ve ağırlık esasına göre eksilen nem ilave edilmiştir. İnkübasyon sonrasında topraklar  $40^\circ\text{C}$  inkubatörde sabit ağırlığa gelinceye kadar kurutulmuştur. Üzerine DTPA ekstraksiyon çözeltisinden eklenerken yarışlı mikroelementler [Lindsay ve Norwell \(1978\)](#) tarafından bildirildiği şekilde ekstrakte edilerek ICP-OES'de Fe ve Mn konsantrasyonları belirlenmiştir.

### 2.3. pH ve redoks ölçümleri

Toprakların pH ve redoks potansiyelinin ölçümü için önceki denemeye paralel bir deneme kurulmuş Fe ve Mn belirlemesine paralel pH ve redoks potansiyeli [Patrick ve ark. \(1996\)](#) tarafından bildirildiği şekilde 1:2 toprak su süspansiyonunda pH/ORP elektrodu ile belirlenmiştir.

### 2.4. İstatistiksel değerlendirme

Her bir toprak örneğinin su altında kalması sonucu meydana gelen yarışlı Fe ve Mn konsantrasyonlarındaki değişim, tekrar eden ölçümler deneme desenine göre varyans analizi uygulanmıştır. Bu şekilde örnekler ve ölçüm zamanları arasındaki farklılıklar Bonferroni testi ile  $P\leq 0.05$  seviyesinde karşılaştırılmıştır. Toprak özellikler ile ölçülen parametreler arasındaki ilişkiler konvansiyonel korelasyon analizleri ve kemometrik analizlerle incelenmiştir. Kemometrik analizlerde temel bileşen analizi SPSS paket programında gerçekleştirılmıştır. Temel bileşen analizi çok sayıda parametrenin incelendiği durumlarda kullanılan bir veri indirgeme yöntemidir. Bu şekilde toprak özelliklerinin hangisinin su altında kalma ile yarışlı Fe ve Mn'nin değişimini açıklayıldığı ortaya konulmuştur. Temel bileşen analizi normal şartlarda bir değişkenin varyansını açıklayan  $p$  sayısındaki değişken yerine bu değişkenlerden üretilen daha az sayıdaki temel bileşenlerle veri setinin varyansını açıklama yöntemidir ([Landau ve Everitt 2004](#)).

Hesaplamada çarpıklığı giderilmiş veri seti kullanılmıştır. Bu bağlamda SPSS paket programında veri indirgeme>faktör analizi>temel bileşen analizi sekmelarından korelasyon matrisi kullanılarak gerçekleştirilmiştir. Veri setine varimax rotasyonu uygulanmıştır ([Berkman ve Reise 2012](#)).

### 3. Bulgular ve Tartışma

#### 3.1. Topraklardaki Fe ve Mn konsantrasyonunun zamansal değişimi

Hem Mn hem de Fe konsantrasyonları topraklar arasında ve aynı toprakta örnekleme zamanları arasında önemli ölçüde farklılıklar göstermiştir (*Çizelge 2*). İnkübasyon süresince toprakların Fe ve Mn konsantrasyonu kontrol toprakları ile kıyaslandığında belirgin bir şekilde yüksektir. Fe konsantrasyonu 21. günde Mn konsantrasyonu ise 14. günde maksimum değere ulaşmıştır. Fe konsantrasyonu ortalama olarak topraklarda inkübasyon süresince 2.66, Mn konsantrasyonu ise 2.69 kata kadar artış göstermiştir.

Mangan konsantrasyonu topraklarda göreceli olarak çok kısa sürede artış göstermiştir ki bu Mn minerallerinin azotlu yapılardan sonra ilk indirgenen mineral/katyonlar olması ile açıklanabilir (*Condon ve Richards 1992*).  $Mn^{+4/+3}$  içeren mineral yapılar 3 gün gibi son derecede kısa bir süre indirgen ortamda kaldığında indirgenmeye başlar (*Takai ve ark. 1957; Datta 1981*). Indirgen ortamlarda toprakta bulunan hakim Mn minerali ne olursa olsun termodynamik açıdan normal toprak pH sınırlarında en stabil yapının  $Mn^{+2}$  katyonun olması nedeniyle böyle bir artış gerçekleşmektedir (*Sogaard ve Madsen 2013*). Indirgen ortam oluştuğunda ortamda bulunan organik madde gibi elektron sağlayıcıların miktarına göre (*Patrick ve Reddy 1978*) topraklar arasında farklılıklar ortaya çıkmaktadır.

Demir oksitlerin indirgenmesi Mn oksit minerallerinin indirgenmesinden sonra daha hızlı gerçekleşir (*Datta 1981; Condon ve Richards 1992*). Nitekim Mn konsantrasyonu 14. günde maksimum değere ulaşırken Fe konsantrasyonu 21. günde maksimuma ulaşmıştır. Diğer taraftan ayrışmanın ileri derecede gerçekleştiği asit topraklar göreceli olarak daha fazla miktarda Fe oksit minerallerini içerdiğinden bu topraklar genelde daha yüksek yarıyıklı Fe içeriğine sahiptirler (*Çizelge 1 ve 2*).

#### 3.2. İnkübasyonda toprak pH'sının değişimine toprak özelliklerinin etkisi

Toprak özellikleri ile inkübasyon sırasında değişen pH değerleri korelasyon matrisi *Çizelge 3*' te verilmiştir. Inkübasyonun farklı periyotlarındaki ölçümllerin korelasyon analizinde pH ve redoks potansiyeli arasında çok önemli negatif korelasyon (-0.962-1.00) bulunmuştur. Ayrıca pH ile kireç, Ca, Mg miktarı arasında pozitif, DTPA-Fe ve inkübasyonun 3. günündeki yarıyıklı Fe konsantrasyonu ile çok önemli ve önemli, DTPA-Mn konsantrasyonları arasında önemli negatif korelasyonlar tespit edilmiştir. Fe ve Mn konsantrasyonu ile pH arasındaki korelasyon katsayıları genelde inkübasyon süresinin artmasına bağlı olarak azalma göstermektedir ki bu da normal topraklarda bu iki elementin yarıyılığını kontrol eden pH faktörünün etkisinin (*Lindsay 2001*) artan su ile doygunluk süresine bağlı olarak ortadan kaktığının göstergesidir. Benzer şekilde inkübasyonun ilerleyen sürecinde pH'nın Ca ile olan ilişkisinde de azalma gözlenirken; Mg ile olan korelasyon katsayısında artış tespit edilmiştir. Bu da pH arttıkça  $MgCO_3$ 'in  $CaCO_3$ 'e göre daha etkin olduğunu göstermektedir. Zira  $CaCO_3$  mineralleri asit ilavesinde daha hızlı çözünme eğilimi gösterirken;  $MgCO_3$  özellikle Ca-karbonatların bulunduğu durumlarda daha yavaş tepki vermektedir.

ORP ile pH arasında inkübasyon sırasında tüm ölçüm zamanlarında son derece yüksek negatif korelasyon katsayıları elde edilmiştir. Nitekim *Lindsay (2001)* bu ilişkiye teorik olarak

göstermiştir. Herhangi bir toprağın pe + pH değerlerinin sabit ve o toprak için karakteristik olduğu bildirilmektedir (*Lindsay ve Sadiq 1983; Lindsay 2001*). Bu durumda pH'daki değişim kadar zit yönde pe değerinde bir değişim olmaktadır. Diğer taraftan bu iki değişken arasında aynı elektrotla eş zamanlı ölçülmesinden kaynaklanan bir sistematiği ilişki de söz konusudur. Bunun sonucunda da -0.962 ile 1.00 arasında korelasyon katsayıları elde edilmiştir.

#### 3.3. İnkübasyonda ORP değişimine toprak özellikleri ile ilişkileri

Toprak özellikleri ile ORP'nin zamansal değişimleri arasındaki korelasyon matrisi *Çizelge 4*'te verilmiştir. ORP ile kireç, Ca, Mg miktarı arasında negatif; Fe ve Mn ile pozitif çok önemli korelasyon katsayıları tespit edilmiştir. Çizelgede dikkat çeken diğer bir husus ise inkübasyonun ilerleyen sürecinde ORP'nin Ca ile olan ilişkisinde artma, Mg ile olan ilişkisinde ise azalma tespit edilmiştir. Bu da ORP arttıkça  $CaCO_3$ 'ün  $MgCO_3$ 'e göre daha etkin olduğunu göstermektedir ki bu iki karbonattan Ca karbonatlarının daha hızlı çözünmesiyle ya da daha fazla çözünürlüğe sahip olması ile ilişkili olabilir (*Lindsay 2001*). Diğer taraftan Ca, Mg gibi elementler direk olarak redoks reaksiyonuna girmezler (*Lindsay 1979*) ancak pH değişimlerine karşı tamponlayıcı etkileri nedeniyle dolaylı bir etki oluşturmaktadırlar (*Usta 1995*).

#### 3.4. Topraklardaki kemometrik ilişkiler

Topraklarda belirlenen Fe ve Mn'nin yarıyıklı konsantrasyonları, inkübasyon süresince değişen diğer parametreler ile tanımlayıcı toprak özelliklerine veri indirgeme yöntemi olan temel bileşen analizi (PCA) SPSS paket programında uygulanmıştır (*Berkman ve Reise 2012*).

Temel bileşenlere (PC) ait özdeğerler *Çizelge 5*'de gösterilmiştir. Özdegeri 1'den büyük olan temel bileşenler verilerin tanımlanmasında kullanılmıştır. *Çizelge 5* incelediğinde özdegeri 1'den büyük olan 6 ayrı bileşenin bulunduğu gözlenmektedir. Bu bileşenlerle toplamda meydana gelen varyansın % 94.477'si açıklanabilmektedir ki bu son derece yüksek bir orandır. Birinci temel bileşen varyansın % 44.644'lük bir kısmını açıklarken; ikinci ve üçüncü temel bileşenler sırasıyla % 17.434 ve % 14.682'lik bir kısmını açıklayabilmektedir. Sonraki temel bileşenler göreceli olarak daha az varyans açıklamaktadırlar (*Çizelge 5*). Birinci temel bileşen genelde toprakların tanımlayıcı özelliklerile ilişkilidir. Bu bağlamda toprak özelliklerinden pH, kireç, yarıyıklı K, Ca ve Mg, pH ile negatif yükleme değerleri verirken; DTPA-Fe ve 3. gündeki DTPA-Fe, DTPA-Mn ve ORP ölçümleri ile pozitif yükleme değerleri vermiştir. Ikinci temel bileşen ise EC ile negatif; toplam azot, OM, yarıyıklı P ve inkübasyon süresince ölçülen DTPA-Fe konsantrasyonlarıyla pozitif korelasyonlar elde edilmiştir. Üçüncü temel bileşen kireç eşdeğeriyle negatif, inkübasyonda ölçülen Mn konsantrasyonlarıyla pozitif yükleme değerlerine sahiptir. Dördüncü temel bileşen, toprak tekstür fraksiyonlarından kum ile negatif; OM, toplam azot, yarıyıklı K, DTPA-Zn ve Cu ile pozitif yükleme vermektedir. Beşinci temel bileşen tekstür bileşenlerinden silt ve kil ile negatif; DTPA-Mn ile pozitif yükleme değerlerine sahiptir. Bu da DTPA-Mn konsantrasyonunda ince tanecikli tekstür fraksiyonlarının ilişkisini (adsorpsyonunu) ortaya koymaktadır. Altıncı temel bileşen ise yarıyıklı P, DTPA-Zn ve Cu yüksek pozitif yükleme değerine sahip iken; ölçülen herhangi bir toprak bileşeni ile yüksek negatif yükleme değeri gözlenmemiştir.

**Çizelge 1.** Denemede kullanılan toprak örneklerinin tanımlayıcı fiziko-kimyasal özellikleri.

**Table 1.** Descriptive physico-chemical properties of the experimental soils.

Toprak No	Tekstür (%)			Kireç	OM g kg <sup>-1</sup>	Toplam N	pH	P	K	Ca	Mg mg L <sup>-1</sup>
	Kum	Silt	Kil								
1	54.2	25.4	20.4	96.0	7.30	54.2	2.05	3.58	27.0	130	988
2	40.2	29.4	30.4	79.7	8.80	39.2	1.63	3.99	14.0	202	676
3	42.2	29.4	28.4	579	11.7	47.9	2.22	3.54	12.0	432	1107
4	42.2	29.4	28.4	78.8	4.40	40.1	2.54	4.04	6.00	225	741
5	41.2	28.4	30.4	204.9	7.30	70.1	3.49	6.01	52.0	357	4443
6	41.7	34.0	24.3	7700	49.9	339	13.3	8.17	73.5	8543	5248
7	20.2	27.4	52.4	458	61.6	15.0	0.96	7.72	4.50	735	14181
8	41.2	27.4	31.4	351	296	24.7	1.40	7.98	46.0	1027	14787
9	72.2	11.4	16.4	81.8	8.80	1.90	0.12	6.74	5.00	167	5977
10	43.6	16.6	39.8	0.174	371	26.6	1.23	8.21	40.5	891	18601
11	37.2	42.4	20.4	0.23	246	12.3	0.71	8.65	3.50	424	19211
12	24.6	22.4	53.0	269	428	10.4	0.63	8.00	5.50	330	27140
13	61.6	23.4	15.0	2290	173	9.70	0.58	7.69	1.50	144	24079
14	61.6	21.4	17.0	116	122	16.2	1.02	8.32	3.00	196	20467
15	45.6	24.4	30.0	182	153	23.1	1.39	7.77	20.0	503	28855

**Çizelge 2.** İnkübasyon süresince deneme topraklarının DTPA ile ekstrakte edilebilen demir (Fe) ve mangan (Mn) içeriklerinin zamana bağlı değişimi.

**Table 2.** Time dependent differences in DTPA extractable iron (Fe) and manganese (Mn) concentrations of experimental soils in the course of incubation.

Toprak No	DTPA-Fe									DTPA-Mn					
	Örnekleme Zamanı									Örnekleme Zamanı					
No	0	3	7	14	21	31	45	60	91	Ort.	0	3	7	14	21
1	41.6	162	154	171	175	174	173	168	157	153 A	27.4	55.9	60.6	51.5	53.0
2	38.9	111	125	147	150	126	119	99.9	92.5	112 B	23.0	48.9	61.3	60.5	59.7
3	40.0	42.3	24.3	21.9	18.5	17.8	16.0	15.7	13.0	23.3 G	25.9	29.4	24.6	24.4	23.7
4	35.5	20.4	35.9	40.6	42.7	34.7	24.8	25.4	20.9	31.2 F	19.0	16.7	19.2	18.6	17.7
5	44.3	10.9	11.6	82.2	107	88.3	100	114	118	75.2 C	14.8	15.4	18.0	68.0	101.0
6	31.3	25.5	26.0	24.6	10.3	23.9	21.7	20.5	19.7	22.6 G	19.2	32.6	33.7	35.2	8.99.0
7	13.0	3.02	3.85	25.8	22.3	24.6	20.6	24.3	23.3	17.9 G	11.8	46.1	47.2	110	96.0
8	6.52	7.67	19.8	31.0	36.0	54.7	25.9	41.1	38.0	29.0 F	14.2	45.5	39.4	37.4	35.5
9	4.40	1.20	1.68	1.55	1.28	1.35	1.45	1.90	2.28	1.90 I	26.0	34.1	35.9	34.0	25.5
10	7.12	11.4	11.7	29.6	35.1	37.9	29.4	31.2	32.2	25.1 FG	7.39	28.2	24.1	26.3	25.5
11	2.53	2.06	5.65	12.5	9.11	8.90	10.0	13.9	14.6	8.81 H	2.51	8.96	11.3	12.0	11.0
12	3.45	0.98	7.11	15.6	18.5	11.3	24.4	28.7	23.8	14.9 G	7.89	4.80	8.36	8.35	8.64
13	4.66	0.60	0.63	0.47	0.50	0.66	0.61	0.73	0.88	1.08 I	11.5	8.71	8.54	9.16	9.34
14	6.00	18.5	37.4	49.6	58.8	19.1	29.3	59.9	56.9	37.3 E	10.5	29.9	28.5	26.6	31.0
15	5.72	10.5	45.8	65.9	74.0	55.1	72.2	73.4	32.7	48.4 D	13.9	100	113	112	110
Ort.	19.0 e	28.5 d	34.0 c	47.9 a	50.6 a	45.2 ab	44.5 b	47.9 a	43.1 b		15.7 c	33.7 b	35.6 b	42.2 a	41.0

Farklı büyük harfler, toprakların ortalaması yarışılı element konsantrasyonları arasındaki farklılıklar ( $p \leq 0.05$ ); küçük harfler ise, örneklemme zamanlarının ortalamaları arasındaki farklılıklar gö

**Çizelge 3.** İnkübasyondaki pH ile diğer toprak özellikleri arasındaki korelasyonlar.**Table 3.** Correlation coefficients between pH at incubations and other soil properties.

Parametre	pHC	pH3	pH7	pH14	pH21	pH31	pH45	pH60	pH91
Kum	-0.142	-0.235	-0.224	-0.221	-0.238	-0.286	-0.266	-0.212	-0.278
Silt	-0.260	-0.327	-0.364	-0.313	-0.351	-0.342	-0.317	-0.352	-0.406
Kil	0.121	0.044	0.038	0.020	0.080	0.088	0.108	0.051	0.031
EC	-0.144	-0.074	-0.027	-0.093	-0.095	-0.050	-0.111	-0.082	-0.058
Kireç	0.657**	0.591*	0.591*	0.608*	0.642**	0.626*	0.678**	0.621*	0.634*
OM	-0.368	-0.265	-0.252	-0.274	-0.263	-0.215	-0.217	-0.218	-0.165
N	-0.321	-0.219	-0.204	-0.230	-0.225	-0.175	-0.182	-0.180	-0.125
P	-0.111	-0.049	-0.023	-0.056	-0.007	0.026	0.064	0.075	0.087
K	0.372	0.470	0.464	0.442	0.455	0.482	0.476	0.468	0.528*
Ca	0.803**	0.734**	0.739**	0.744**	0.736**	0.728**	0.736**	0.708**	0.687**
Mg	0.808**	0.791**	0.791**	0.806**	0.834**	0.827**	0.850**	0.820**	0.855**
Cu	0.057	0.077	0.099	0.066	0.098	0.110	0.118	0.134	0.117
Zn	-0.169	-0.070	-0.038	-0.076	-0.043	0.000	0.004	0.039	0.066
DTPA-Fe	-0.803**	-0.727**	-0.713**	-0.747**	-0.726**	-0.691**	-0.707**	-0.690**	-0.665**
Fe3	-0.687**	-0.650**	-0.649**	-0.653**	-0.634*	-0.611*	-0.590*	-0.587*	-0.576*
Fe7	-0.514	-0.501	-0.490	-0.484	-0.468	-0.439	-0.410	-0.424	-0.417
Fe14	-0.359	-0.348	-0.347	-0.341	-0.315	-0.276	-0.250	-0.268	-0.273
Fe21	-0.347	-0.355	-0.349	-0.348	-0.317	-0.281	-0.249	-0.267	-0.281
Fe31	-0.366	-0.346	-0.342	-0.347	-0.309	-0.265	-0.232	-0.245	-0.259
Fe45	-0.319	-0.311	-0.303	-0.299	-0.266	-0.223	-0.194	-0.217	-0.226
Fe60	-0.244	-0.244	-0.238	-0.231	-0.201	-0.160	-0.131	-0.147	-0.158
Fe91	-0.261	-0.254	-0.253	-0.241	-0.207	-0.169	-0.138	-0.153	-0.162
DTPA-Mn	-0.627*	-0.589*	-0.546*	-0.611*	-0.581*	-0.566*	-0.588*	-0.541*	-0.542*
Mn3	-0.158	-0.138	-0.143	-0.179	-0.159	-0.141	-0.138	-0.094	-0.148
Mn7	-0.159	-0.140	-0.141	-0.168	-0.148	-0.123	-0.122	-0.094	-0.151
Mn14	-0.097	-0.060	-0.062	-0.100	-0.078	-0.041	-0.055	-0.023	-0.084
Mn21	-0.155	-0.170	-0.169	-0.201	-0.179	-0.151	-0.150	-0.124	-0.207
Mn31	-0.164	-0.119	-0.108	-0.147	-0.119	-0.070	-0.075	-0.061	-0.117
Mn45	-0.182	-0.159	-0.144	-0.177	-0.150	-0.108	-0.109	-0.095	-0.146
Mn60	-0.060	-0.039	-0.034	-0.066	-0.040	0.005	-0.003	0.018	-0.041
Mn91	-0.147	-0.157	-0.158	-0.177	-0.149	-0.114	-0.107	-0.093	-0.157
ORPC	-1.000**	-0.988**	-0.983**	-0.986**	-0.983**	-0.974**	-0.971**	-0.969**	-0.962**
ORP3	-0.987**	-1.000**	-0.995**	-0.995**	-0.992**	-0.989**	-0.980**	-0.978**	-0.978**
ORP7	-0.983**	-0.995**	-1.000**	-0.993**	-0.992**	-0.990**	-0.981**	-0.978**	-0.981**
ORP14	-0.985**	-0.995**	-0.993**	-1.000**	-0.993**	-0.989**	-0.983**	-0.975**	-0.976**
ORP21	-0.983**	-0.992**	-0.992**	-0.994**	-1.000**	-0.997**	-0.994**	-0.983**	-0.985**
ORP31	-0.974**	-0.989**	-0.990**	-0.990**	-0.997**	-1.000**	-0.995**	-0.985**	-0.985**
ORP45	-0.972**	-0.980**	-0.982**	-0.984**	-0.995**	-0.996**	-1.000**	-0.985**	-0.984**
ORP60	-0.969**	-0.979**	-0.979**	-0.976**	-0.984**	-0.985**	-0.985**	-1.000**	-0.991**
ORP91	-0.963**	-0.979**	-0.982**	-0.977**	-0.986**	-0.986**	-0.984**	-0.991**	-1.000**

**Şekil 1** PC 1 ile PC 2 arasındaki dağılım grafiği toprakların genel özelliklerine ve inkübasyon sırasında DTPA ile ekstrakte edilebilen Fe konsantrasyonları arasındaki ilişkiler çerçevesindeki dağılımını göstermektedir. PC 1'in "0" olduğu noktadan geçen doğrunun solunda kalan topraklar PC 1 ile negatif yükleme değerine sahip toprak özellikleriyle, sağında kalan topraklar ise pozitif yükleme değerine sahip toprak özellikleri nedeniyle farklılık göstermektedir. Bu bağlamda 4 ve 3 nolu toprakların diğer topraklardan farklı olduğu gözlenmektedir. 6, 8, 11, 12 ve 14 nolu topraklar da kısmen benzerlik göstermektedir ki bu davranışta pH, kireç, yarıyılış Ca, Mg önemli bir rol oynamaktadır (**Çizelge 6**). 10 nolu toprak ise PC 1 ile negatif yükleme değerine sahip parametrelerle PC 2 ile pozitif yükleme değerine sahip inkübasyon sürecindeki DTPA-Fe konsantrasyonundaki değişimlerden dolayı farklılık göstermektedir. 1 ve 2 nolu topraklar ise PC 1 ve PC 2 ile

pozitif yükleme değerine sahip parametrelerin etkisi nedeniyle ayrılmıştır.

**Şekil 2**'de tanımlayııcı toprak özellikleri (PC 1) ve inkübasyon sırasında DTPA-Mn konsantrasyondaki değişimler (PC3) çerçevesinde topraklardaki farklılıklar göstermektedir. 6, 8 ve 14 nolu topraklar genel itibarıyla PC 1 ile negatif yükleme değeri veren toprak özellikleri ile; 1 ve 3 nolu topraklar büyük ölçüde PC 1 ile pozitif yükleme değerlerine sahip toprak özellikleri nedeniyle farklılık göstermektedir. 9 ve 5 nolu topraklar PC 3 ile pozitif, 13 nolu toprak ise PC 3 ile negatif ilişkili toprak özellikleriyle ilişkili olduğundan farklılık göstermektedir. 10, 11 ve 12 nolu topraklar PC 1 ve PC 3 ile negatif yükleme değerleri nedeniyle diğer topraklardan farklılık göstermektedir. 15 ve 7 nolu topraklar birbirine PC 1 ile negatif, PC 3 ile pozitif yüklemeye sahip

**Çizelge 4.** İnkübasyondaki ORP ile diğer toprak özellikleri arasındaki korelasyon katsayıları.**Table 4.** Correlation coefficients between ORP values at incubations and other soil properties.

Parametre	ORPC	ORP3	ORP7	ORP14	ORP21	ORP31	ORP45	ORP60	ORP91
Kum	0.141	0.233	0.221	0.219	0.237	0.282	0.262	0.209	0.274
Silt	0.261	0.327	0.362	0.311	0.349	0.341	0.317	0.351	0.404
Kil	-0.119	-0.044	-0.039	-0.020	-0.079	-0.087	-0.108	-0.051	-0.032
EC	0.142	0.074	0.029	0.093	0.095	0.050	0.111	0.083	0.058
Kireç	-0.655**	-0.590*	-0.590*	-0.607*	-0.640*	-0.624*	-0.676**	-0.621*	-0.633*
OM	0.368	0.267	0.255	0.276	0.263	0.218	0.221	0.222	0.168
N	0.322	0.221	0.207	0.232	0.225	0.178	0.186	0.183	0.128
P	0.111	0.051	0.026	0.057	0.008	-0.023	-0.060	-0.071	-0.084
K	-0.372	-0.468	-0.462	-0.440	-0.453	-0.478	-0.473	-0.464	-0.525*
Ca	-0.802**	-0.734**	-0.739**	-0.744**	-0.736**	-0.728**	-0.738**	-0.709**	-0.688**
Mg	-0.807**	-0.790**	-0.790**	-0.805**	-0.832**	-0.825**	-0.855**	-0.819**	-0.854**
Cu	-0.059	-0.078	-0.102	-0.067	-0.100	-0.111	-0.119	-0.137	-0.120
Zn	0.167	0.071	0.040	0.077	0.042	0.002	-0.001	-0.037	-0.065
DTPA-Fe	0.803**	0.728**	0.714**	0.748**	0.726**	0.692**	0.708**	0.691**	0.666**
Fe3	0.689**	0.652**	0.652**	0.654**	0.635*	0.613*	0.594*	0.591*	0.578*
Fe7	0.516*	0.503	0.493	0.485	0.470	0.441	0.413	0.429	0.420
Fe14	0.361	0.349	0.349	0.342	0.316	0.279	0.254	0.272	0.274
Fe21	0.349	0.357	0.350	0.348	0.317	0.283	0.252	0.271	0.282
Fe31	0.368	0.347	0.344	0.348	0.310	0.267	0.236	0.249	0.260
Fe45	0.321	0.312	0.305	0.300	0.267	0.225	0.197	0.221	0.228
Fe60	0.247	0.245	0.240	0.231	0.202	0.163	0.134	0.151	0.160
Fe91	0.264	0.255	0.254	0.241	0.208	0.171	0.141	0.156	0.163
DTPA-Mn	0.626*	0.589*	0.548*	0.611*	0.582*	0.566*	0.588*	0.543*	0.542*
Mn3	0.160	0.139	0.145	0.178	0.160	0.142	0.140	0.098	0.148
Mn7	0.160	0.141	0.143	0.167	0.149	0.124	0.124	0.099	0.151
Mn14	0.098	0.060	0.062	0.099	0.077	0.041	0.056	0.026	0.083
Mn21	0.156	0.170	0.168	0.199	0.178	0.149	0.150	0.125	0.205
Mn31	0.165	0.119	0.109	0.146	0.118	0.070	0.076	0.064	0.116
Mn45	0.183	0.160	0.144	0.176	0.149	0.108	0.110	0.097	0.145
Mn60	0.061	0.039	0.035	0.065	0.040	-0.005	0.004	-0.015	0.040
Mn91	0.149	0.158	0.158	0.175	0.148	0.114	0.108	0.095	0.155

**Çizelge 5.** Temel bileşenlerin açıkladığı varyanslar.**Table 5.** The variances explained by principal components.

Temel Bileşenler	Başlangıç Özdeğerleri			Döndürümüş Kareli Yüklerin Toplamı		
	Toplam	% Varyans	% Kümülatif	Toplam	% Varyans	% Kümülatif
1	25.563	49.160	49.160	23.215	44.644	44.644
2	11.917	22.917	72.077	9.066	17.434	62.078
3	4.492	8.638	80.714	7.634	14.682	76.759
4	3.986	7.665	88.379	4.003	7.698	84.457
5	1.988	3.822	92.201	3.010	5.788	90.246
6	1.183	2.275	94.477	2.200	4.231	94.477
7	0.963	1.852	96.328			

parametreler çerçevesinde benzerlik gösterirken aynı özellikler bu toprakların diğerlerinden ayrılımasına neden olmuştur. 4 nolu toprak ise diğer topraklardan kireç içeriği (PC 3 ile negatif yüklemeye sahip) ve PC 1 ile pozitif yüklemeye sahip ORP, DTPA-Mn, Fe gibi özelliklerin bir fonksiyonu olarak ayrılmıştır.

Şekil 3'de toprakların genel özellikleri (PC 1) ve yarıyılı Mn, silt ve kil içeriğle ilişkili olan PC 5 in dağılım diyagramı verilmiştir. 2, 3, 4 nolu topraklar PC 1 ile yüksek pozitif yükleme değerlerine sahip olan ORP, DTPA-Mn ve DTPA-Fe, Fe3 (3. gündeki yarıyılı Fe) parametrelerinin bir fonksiyonu olarak farklılık göstermektedir. 8, 10, 14 ve 15 nolu topraklar

ise büyük ölçüde PC 1 ile negatif yüklemeye sahip pH'nın etkisiyle diğer topraklardan ayrılmaktadır. 6 nolu toprak PC 1 ile negatif yükleme değerine sahip başta pH (-0.964) olmak üzere yarıyılı Ca, Mg miktarları ile kireç içeriği PC 5 ile pozitif yükleme değerlerine sahip DTPA-Mn' nin etkisiyle diğer topraklardan farklıdır. 9 nolu toprağın farklı olmasının nedeni büyük ölçüde PC 5 ile pozitif yükleme değerine sahip DTPA-Mn konsantrasyonuyla ilişkilidir. 7, 11 ve 12 nolu topraklar ise PC 1 ve PC 5 ile negatif yükleme değerlerine sahip pH, yarıyılı Ca ve Mg, kireç ve tekstürün ince fraksiyonlarının bir fonksiyonu olarak farklılık göstermektedir.

**Çizelge 6.** Temel bileşenlerle toprak özellikleri arasındaki yükleme matrisi.**Table 6.** Loading matrices between the extracted principal components and soil properties.

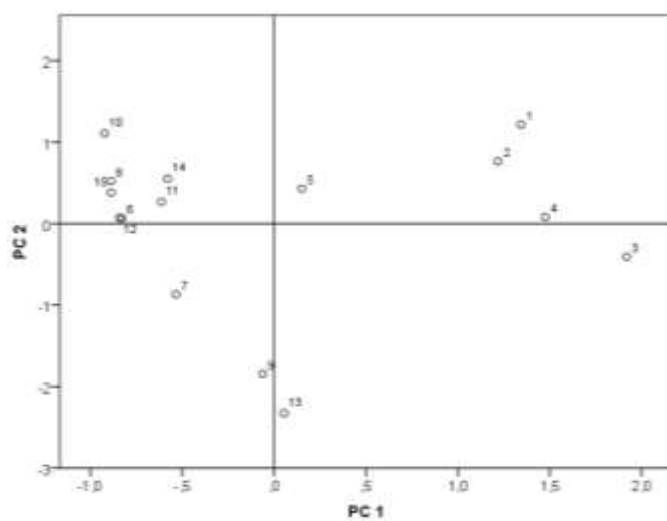
Parametreler	Bileşenler					
	1	2	3	4	5	6
Kum	0.252	-0.245	0.075	-0.855	0.147	0.013
Silt	0.310	0.173	-0.078	-0.267	-0.744	-0.088
Kil	-0.108	0.160	0.131	-0.085	-0.762	0.120
EC	0.139	-0.404	0.322	0.586	0.191	-0.046
pH	-0.964	-0.148	-0.133	-0.006	-0.038	-0.070
Kireç	-0.663	0.163	-0.487	-0.181	-0.259	-0.060
OM	0.208	0.534	0.022	0.742	0.235	0.095
Toplam N	0.169	0.510	0.026	0.775	0.185	0.073
Yarayışlı P	-0.066	0.606	0.225	0.336	0.404	0.430
Yarayışlı K	-0.483	0.183	-0.012	0.701	0.289	0.049
Yarayışlı Ca	-0.749	-0.128	-0.117	-0.202	-0.329	-0.305
Yarayışlı Mg	-0.844	0.173	-0.380	0.022	-0.125	0.172
DTPA-Cu	-0.092	0.028	0.274	0.030	-0.121	0.940
DTPA-Zn	0.008	0.419	0.160	0.538	0.380	0.582
DTPA-Fe	0.706	0.306	0.266	0.476	0.157	0.251
Fe3	0.555	0.686	0.257	0.172	0.297	-0.104
Fe7	0.370	0.823	0.230	0.115	0.182	-0.245
Fe14	0.208	0.890	0.337	0.155	-0.101	-0.013
Fe21	0.208	0.885	0.341	0.051	-0.175	0.023
Fe31	0.201	0.878	0.354	0.191	-0.075	0.082
Fe45	0.161	0.888	0.336	0.160	-0.130	0.058
Fe60	0.092	0.903	0.330	0.103	-0.144	0.050
Fe91	0.106	0.904	0.287	0.086	-0.127	0.129
DTPA-Mn	0.594	-0.100	0.479	0.148	0.480	0.095
Mn3	0.084	0.284	0.794	-0.048	0.376	-0.234
Mn7	0.074	0.332	0.821	-0.039	0.310	-0.261
Mn14	0.015	0.273	0.933	0.102	0.058	0.102
Mn21	0.109	0.302	0.883	-0.166	-0.212	0.179
Mn31	0.054	0.355	0.838	0.230	-0.022	0.255
Mn45	0.074	0.480	0.821	0.095	-0.036	0.220
Mn60	-0.038	0.434	0.872	0.102	-0.106	0.123
Mn91	0.064	0.521	0.771	-0.092	-0.227	0.185
pHC	-0.978	-0.161	-0.026	-0.084	-0.061	-0.032
pH3	-0.982	-0.168	-0.009	0.034	0.000	-0.010
pH7	-0.980	-0.171	-0.003	0.043	0.024	0.015
pH14	-0.982	-0.145	-0.050	0.009	0.006	-0.010
pH21	-0.990	-0.114	-0.037	0.009	0.010	0.025
pH31	-0.990	-0.093	-0.005	0.063	-0.007	0.026
pH45	-0.994	-0.037	-0.034	0.018	-0.002	0.041
pH60	-0.987	-0.063	0.004	-0.001	0.059	0.064
pH91	-0.984	-0.057	-0.071	0.069	0.086	0.064
ORPC	0.978	0.164	0.026	0.084	0.059	0.029
ORP3	0.982	0.170	0.009	-0.032	0.000	0.009
ORP7	0.980	0.173	0.003	-0.041	-0.022	-0.017
ORP14	0.982	0.146	0.049	-0.007	-0.005	0.008
ORP21	0.989	0.116	0.036	-0.009	-0.009	-0.027
ORP31	0.989	0.096	0.003	-0.060	0.008	-0.028
ORP45	0.994	0.041	0.034	-0.016	0.004	-0.042
ORP60	0.987	0.068	-0.002	0.003	-0.057	-0.067
ORP91	0.984	0.060	0.069	-0.066	-0.084	-0.066

Ekstraksiyon metodu: Temel bileşen analizi, Rotasyon metodu: Kaiser normalizasyon ile varimax metodu, Rotasyon 9 döngüde tamamlanmıştır.

#### 4. Sonuç

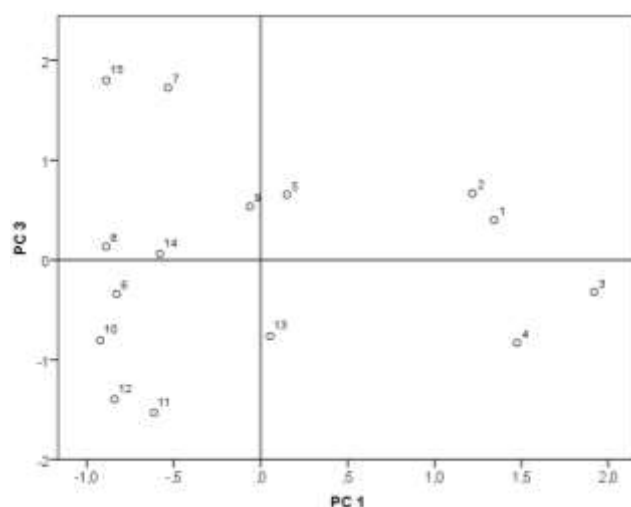
İnkübasyon süresince belirli zamanlarda ölçülen parametreler arasında yapılan korelasyon analizi pH, ORP ve DTPA-Fe, -Mn özelliklerini arasındaki yüksek korelasyon katsayıları indirgen koşullarda ilgili elementlerin konsantrasyonunun değişimini anlamada önemli olabileceğini göstermiştir. İnkübasyona alınan toprakların su altında bırakılmasıyla bitkiye yarıyaylı Fe, Mn içeriklerinin önemli ölçüde değişime uğradığı ve özellikle ilk 3 haftalık süreçte arttığı tespit edilmiştir. Ayrıca mikro element noksantalığı görülen toprakların su altında bırakılmasıyla geçici bir süre de olsa Fe ve Mn noksantalıklarının giderilebileceğini ortaya koyması açısından oldukça önemlidir.

Örnek alınmadan önce toprakların geçirmiş olduğu redoks potansiyelindeki değişimlerin analiz sonuçlarını direkt olarak etkilediği ortaya konulmuştur. Tipik olarak söz konusu belirleyici analizler açısından toprakların örnekleme zamanları konusunda kiş ayları sonunda yüksek, yaz ayları sonunda ise düşük sonuçların ortaya çıkması beklenilen bir durum olarak gözlemlenmiştir. Bu da analiz sonuçlarının gübreleme programlarında kullanılabilirliği hususunda handikap olarak değerlendirilebilir. Bu nedenle redoks potansiyeli ölçümlerinin rutin analiz setine ilave edilmesi bu handikabı aşmada yardımcı olabileceğinin degerlendirilmiştir.



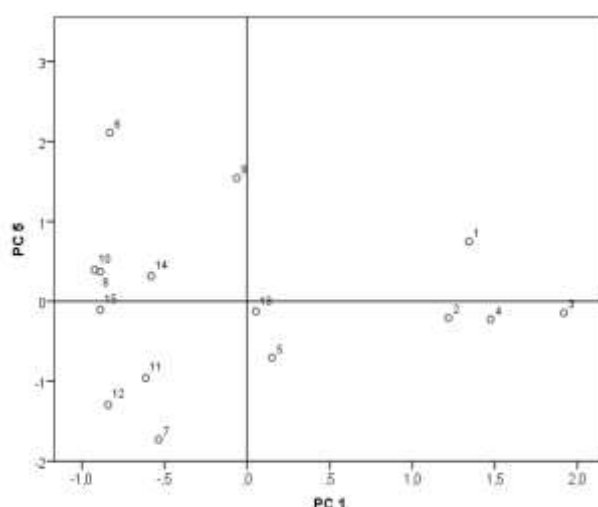
**Şekil 1.** PC 1 ile PC 2 arasındaki dağılım grafiği.

**Figure 2.** Scatter diagram for PC 1 vs PC 2.



**Şekil 2.** PC 1 ile PC 3 arasındaki dağılım grafiği.

**Figure 2.** Scatter diagram for PC 1 vs PC 3.



**Şekil 3.** PC 1 ile PC 5 arasındaki dağılım grafiği.

**Figure 3.** Scatter diagram for PC 1 vs PC 5.

## Teşekkür

Bu çalışma Süleyman Demirel Üniversitesi Bilimsel Araştırma Koordinasyon Birimi tarafından 4887-YL1-17 nolu yüksek lisans projesi kapsamında desteklenmiştir.

## Kaynaklar

- Aydın A, Sezen Y (1995) Değişik Azotlu Gübrelerin Suya Doygun Koşullarda Urfa Yöresi Toprak Örnüklerinin Fe, Mn, Zn ve Cu Elverişliliğine Etkisi. İlhan Akalan Toprak ve Çevre Sempozyumu, II, B146-155, Ankara.
- Barik K, Kant C, Aydin A (2005) Daphan ve Pasinler Ovası toprak örneklerine suya doygun koşullarda farklı azotlu gübre uygulamalarının toprakların Fe, Mn, Zn ve Cu elverişliliğine etkisi. Atatürk Üniversitesi Ziraat Fakültesi Dergisi 37(1): 9-15.
- Berkman ET, Reise SP (2012) A Conceptual Guide to Statistics Using SPSS. SAGE Publications, Los Angeles, USA.
- Bremner JM (1996) Nitrogen-total. In: Sparks DL, Page AL, Helmke PA, Loepert RH, Soltanpour PN, Tabatabai MA, Johnston CT, Sumner ME (Eds.), Methods of Soil Analysis, Part 3 Chemical Methods. ASA/SSSA, Madison, WI, USA, pp. 1085-1022.
- Condon AG, Richards RA (1992) Exploiting genetic variation in transpiration efficiency in wheat: An agronomic view. Ehleringer JR, Hall AE, Farquhar GD (Eds), Stable Isotopes and Plant Carbon-Water Relations. Academic Press, San Diego, California, USA, pp. 435- 450.
- Datta SK (1981) Principles and Practices of Rice Production. Wiley Interscience, New York, U.S.A.
- Dellwig O, Leipe T, Marz C, Glockzin M, Pollehne F, Schnetger B, Yakushev EV, Bottcher ME, Brumsack HJ (2010) A new particulate Mn-Fe-P-shuttle at the redox cline of anoxic basins. *Geochimica Et Cosmochimica Acta* 74: 7100-7115.
- Fageria NK, Moraes OP, Vasconcelos MJ (2011) Yield and yield components of upland rice as influenced by nitrogen sources. *Journal of Plant Nutrition* 34: 361-370.
- Gee GW, Bauder JW (1986) Particle-size analysis. In: Klute A. (ed.), Methods of Soil Analysis. Part 1. 2<sup>nd</sup> ed. ASA/SSSA, Madison, WI, USA. pp. 383-411.
- Ghosh SN, Kar AK, Dhua SP (1976) Effect of sampling variation on Eh, pH and available P, Fe and Mn in submerged rice soil. Indian Society of Soil Science 24(1): 86-87.
- Kuo S (1996) Phosphorus. In: Sparks DL, Page AL, Helmke PA, Loepert RH, Soltanpour PN, Tabatabai MA, Johnston CT, Sumner ME (Eds.), Methods of Soil Analysis, Part 3 Chemical Methods. ASA/SSSA, Madison, WI, USA, pp. 869-920.
- Landau S, Everitt BS (2004) A Handbook of Statistical Analyses Using SPSS. Chapman & Hall/CRC Press LLC, London, UK.
- Latrille C, Elsass F, van Oort F, Denaix L (2001) Physical speciation of trace metals in Fe-Mn concretions from a rendzic lithosol developed on Sinemurian limestones (France). *Geoderma* 100: 127-146.
- Lindsay WL, Norvel WA (1978) Development of DTPA soil test for Zn, Fe, Mn and Cu. *Soil Science Society of America Journal* 42(3): 421-28.
- Lindsay WL (1979) Chemical Equilibria in Soils. John Wiley & Sons, New York, USA.
- Lindsay WL, Sadiq M (1983) Use of pe + pH to predict and interpret metal solubility relationships in soils. *Science of Total Environment* 28: 169-178.
- Lindsay WL (2001) Chemical Equilibria in Soils. The Blackburn Press, USA.
- Liu F, Colombo C, Adamo P, He JZ, Violante A (2002) Trace elements in manganese-iron nodules from a Chinese Alfisol. *Soil Science Society of America Journal* 66: 661-670.
- Lowley DR (1991) Dissimilarity in Fe(III) and Mn(IV) reduction. *Microbiological Reviews* 55: 259-289.
- Nasnodkar MR, Nayak GN (2017) Chemical speciation and bioavailability of selected trace metals in the mudflat core sediments of the tropical estuaries, India. *Environmental Earth Sciences*, 76: 727.
- Nelson DW, Sommers LR (1996) Total carbon, organic carbon and organic matter. In: Sparks DL, Page AL, Helmke PA, Loepert RH, Soltanpour PN, Tabatabai MA, Johnston CT, Sumner ME (Eds.), Methods of Soil Analysis, Part 3 Chemical Methods. ASA/SSSA, Madison, WI, USA, pp. 961-1010.
- Ören S (2018) Toprakların redoks potansiyelindeki değişimlerin Fe ve Mn yayışlılığına etkisi. Yüksek Lisans Tezi. Süleyman Demirel Üniversitesi Fen Bilimleri Enstitüsü, Isparta.
- Patrick JWH, Reddy CN (1978) Chemical Changes in Rice Soils. In: IRRI, Ed., Soils and Rice, The International Rice Research Institute, Manila, pp. 361-379.
- Patrick WH, Henderson RE (1981) Reduction and re-oxidation cycles of manganese and iron in flooded soil and in water solution. *Soil Science Society of America Journal* 45: 855-859.
- Patrick WH, Gambrell RP, Faulkner SP (1996) Redox and measurement of soils In Sparks DL et al. (Eds). Methods of Soil Analysis, Part 3, Chemical Methods, Soil Society of America Book series No. 5, Soil Science Society of America, Madison, WI, pp. 1255-1273.
- Ponnampерuma FN (1972) The chemistry of submerged soils. *Advances in Agronomy* 24: 29-96.
- Ponnampерuma FN (1978) Electrochemical changes in submerged soils and the growth of rice. *Soils and Rice. International Rice Research Institute*, Los Baños, Philippines, s. 421-441.
- Rao MB, Venkateswari J (1974) The Physico-chemical changes of the newly flooded soils. *Indian Society of Soil Science* 22(1): 13-18.
- Shaheen SM, Rinklebe J (2014) Geochemical fractions of chromium, copper, and zinc and their vertical distribution in floodplain soil profiles along the Central Elbe River, Germany. *Geoderma* 228: 142-159.
- Sogaard EG, Madsen HT (2013) Groundwater chemistry and treatment: Application to Danish waterworks. In: Elshorbagy W. (Ed.), Water Treatment. InTech, pp. 223-246.
- Sparks DL, Page AL, Helmke PA, Loepert RH, Soltanpour PN, Tabatabai MA, Sumner ME (1996) Methods of Soil Analysis. Part 3-Chemical methods. Soil Science Society of America Inc., USA.
- Suda A, Makino T (2016) Functional effects of manganese and iron oxides on the dynamics of trace elements in soils with a special focus on arsenic and cadmium: A review. *Geoderma* 270: 68-75.
- Sumner ME, Miller WP (1996) Cation exchange capacity and exchange coefficients. In: Sparks DL, Page AL, Helmke PA, Loepert RH, Soltanpour PN, Tabatabai MA, Johnston CT, Sumner ME (Eds.), Methods of Soil Analysis, Part 3 Chemical Methods. ASA/SSSA, Madison, WI, USA. pp. 1201-1230.
- Szymanski W, Skiba M (2013) Distribution, morphology, and chemical composition of Fe-Mn nodules in Albeluvicols of the Carpathian foothills, Poland. *Pedosphere* 23: 445-454.
- Takai Y, Koyama T, Kamure T (1957) Microbial metabolism of paddy soils. *Journal of Agricultural Chemical Society* 31: 211-220.
- Usta S (1995) Toprak Kimyası. Ankara Üniversitesi Ziraat Fakültesi Yayınları, Yayın no: 1387, Ankara.